Approximation du maximum de vraisemblance des processus déterminantaux

Arnaud Poinas

Travail en collaboration avec Frédéric Lavancier (LMJL, Nantes)

22 Juin 2022





Outline

- Processus ponctuels determinantaux
 - Jeux de données ponctuelles répulsives
 - Définition des DPPs
 - Construction de la log-vraisemblance
- Approximation asymptotique de la vraisemblance des DPPs
 - Méthode d'approximation
 - Résultats numériques
 - Estimation de la variance
- 3 Conclusion et questions ouvertes

Définition (Processus ponctuel sur \mathbb{R}^d)

Un processus ponctuel (ou PP) sur \mathbb{R}^d est un sous-ensemble aléatoire X de \mathbb{R}^d localement fini. C'est à dire que pour tout $A \subset \mathbb{R}^d$ borné,

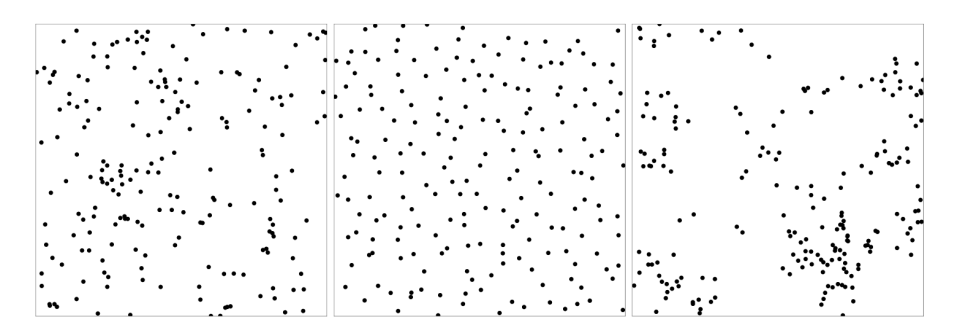
$$card(X \cap A) < +\infty$$
 p.s.

Définition (Processus ponctuel sur \mathbb{R}^d)

Un processus ponctuel (ou PP) sur \mathbb{R}^d est un sous-ensemble aléatoire X de \mathbb{R}^d localement fini. C'est à dire que pour tout $A \subset \mathbb{R}^d$ borné,

$$card(X \cap A) < +\infty$$
 p.s.

On distingue trois principaux types de comportement pour les PPs.



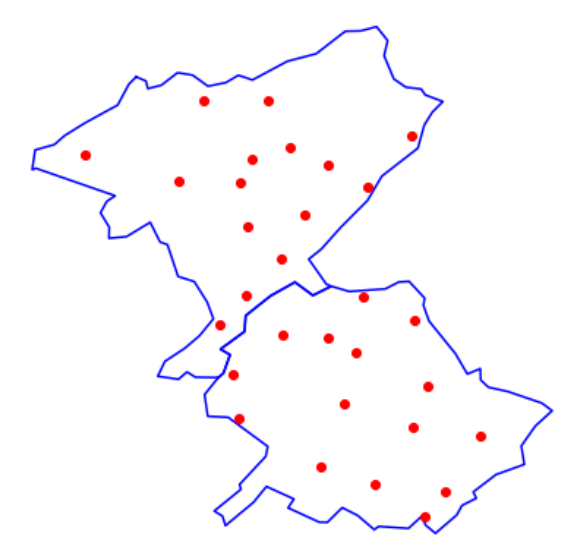


Figure: Emplacement des antennes SFR à Roubais et Tourcoing

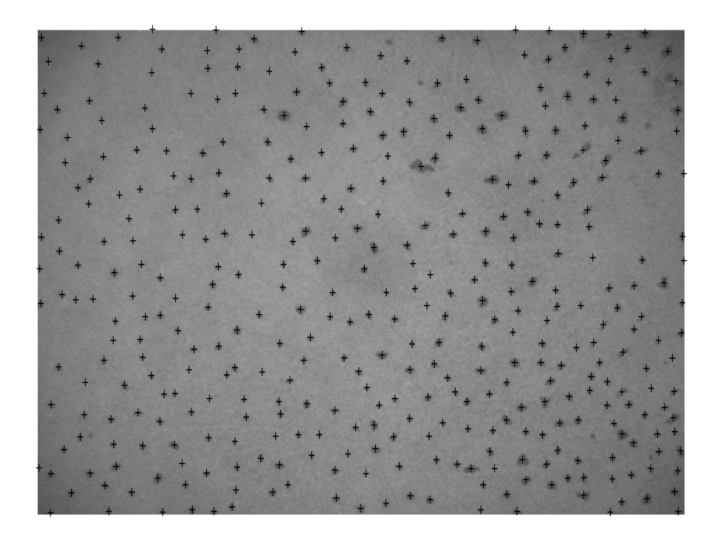


Figure: Emplacement de glandes sudoripares.

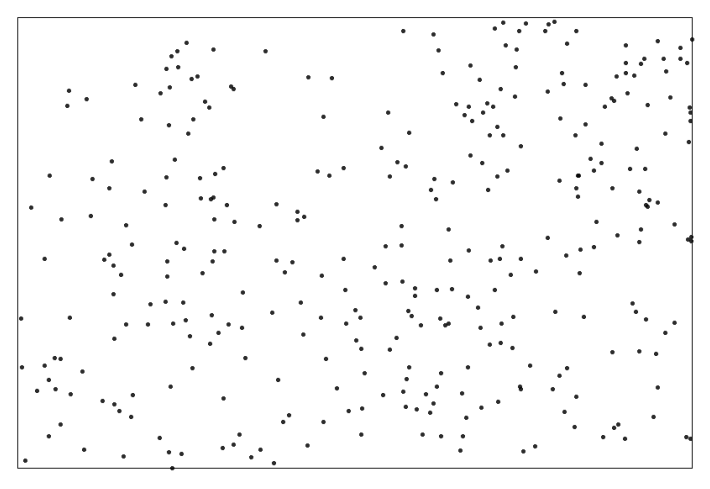


Figure: Emplacement de 340 arbres dans une région de 60m par 90m du Parc Naturel d'Urkiola.

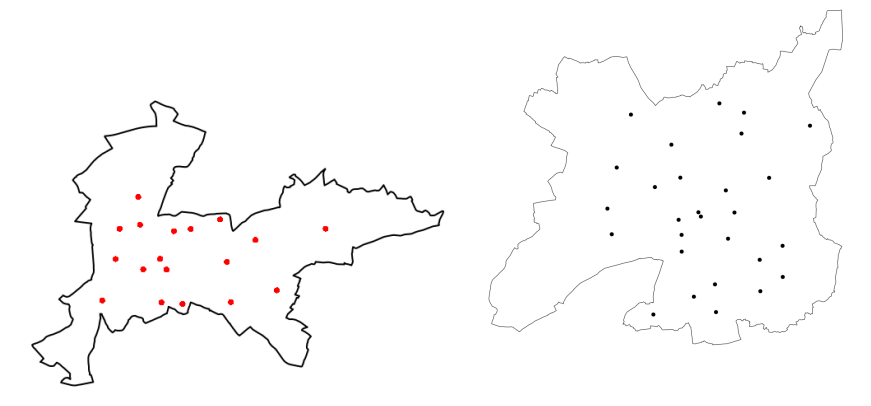


Figure: Emplacement des bureaux de vote à Poitiers et Rennes

Exemples de modèles de processus ponctuels répulsifs

- Processus ponctuels hardcore de Matérn
- Grilles perturbées
- Processus de Gibbs (ex: Strauss)
- Processus déterminantaux

Outline

- Processus ponctuels determinantaux
 - Jeux de données ponctuelles répulsives
 - Définition des DPPs
 - Construction de la log-vraisemblance
- Approximation asymptotique de la vraisemblance des DPPs
 - Méthode d'approximation
 - Résultats numériques
 - Estimation de la variance

Conclusion et questions ouvertes

Définition (Fonctions d'intensité jointe d'un PP)

Soit $n \in \mathbb{N}$ non nul, la fonction d'intensité jointe d'ordre n d'un PP X est la fonction $\rho^{(n)}$ qui, si elle existe, vérifie

$$\mathbb{E}\left[\sum_{(x_1,\ldots,x_n)\in X}^{\neq} h(x_1,\cdots,x_n)\right] = \int_{(\mathbb{R}^d)^n} h(x_1,\cdots,x_n)\rho^{(n)}(x_1,\cdots,x_n)dx$$

pour n'importe quelle fonction $h: \mathbb{R}^{dn} \to \mathbb{R}$ intégrable.

La quantité

$$\rho^{(n)}(x_1,\cdots,x_n)$$

peut être interprétée comme la densité de probabilité que X possède un point en chaque x_i .

8/32

$$\mathbb{E}[\operatorname{card}(X \cap A)] = \int_A \rho^{(1)}(x) \mathrm{d}x$$

$$\mathbb{E}[\operatorname{card}(X \cap A)] = \int_A \rho^{(1)}(x) \mathrm{d}x = \rho |A| \quad \text{si} \quad \rho^{(1)}(x) = \rho.$$

• $\rho^{(1)}(x)$ est l'intensité d'un processus ponctuel.

$$\mathbb{E}[\operatorname{card}(X \cap A)] = \int_A \rho^{(1)}(x) dx = \rho |A| \text{ si } \rho^{(1)}(x) = \rho.$$

• $\rho^{(2)}(x,y) - \rho^{(1)}(x)\rho^{(1)}(y)$ peut-être interprété comme une mesure de dépendance entre deux points.

$$\mathbb{E}[\operatorname{card}(X \cap A)] = \int_{A} \rho^{(1)}(x) dx = \rho |A| \text{ si } \rho^{(1)}(x) = \rho.$$

- $\rho^{(2)}(x,y) \rho^{(1)}(x)\rho^{(1)}(y)$ peut-être interprété comme une mesure de dépendance entre deux points.
 - $\rho^{(2)}(x,y) \rho^{(1)}(x)\rho^{(1)}(y) = 0$ pour les processus de Poisson.

$$\mathbb{E}[\operatorname{card}(X \cap A)] = \int_{A} \rho^{(1)}(x) dx = \rho |A| \text{ si } \rho^{(1)}(x) = \rho.$$

- $\rho^{(2)}(x,y) \rho^{(1)}(x)\rho^{(1)}(y)$ peut-être interprété comme une mesure de dépendance entre deux points.
 - $\rho^{(2)}(x,y) \rho^{(1)}(x)\rho^{(1)}(y) = 0$ pour les processus de Poisson.
 - $\rho^{(2)}(x,y) \rho^{(1)}(x)\rho^{(1)}(y) \le 0$ pour les processus répulsifs.

$$\mathbb{E}[\operatorname{card}(X \cap A)] = \int_A \rho^{(1)}(x) dx = \rho |A| \text{ si } \rho^{(1)}(x) = \rho.$$

- $\rho^{(2)}(x,y) \rho^{(1)}(x)\rho^{(1)}(y)$ peut-être interprété comme une mesure de dépendance entre deux points.
 - $\rho^{(2)}(x,y) \rho^{(1)}(x)\rho^{(1)}(y) = 0$ pour les processus de Poisson.
 - $\rho^{(2)}(x,y) \rho^{(1)}(x)\rho^{(1)}(y) \le 0$ pour les processus répulsifs.
 - $\rho^{(2)}(x,y) \rho^{(1)}(x)\rho^{(1)}(y) \ge 0$ pour les processus attractifs.

Un processus ponctuel X est dit déterminantal (ou DPP) sur \mathbb{R}^d de noyau K s'il existe une fonction $K: (\mathbb{R}^d)^2 \to \mathbb{R}$ telle que pour tout $n \in \mathbb{N}$:

$$\rho^{(n)}(x_1,\dots,x_n) = \det \begin{pmatrix} K(x_1,x_1) & \cdots & K(x_1,x_n) \\ \vdots & \ddots & \vdots \\ K(x_n,x_1) & \cdots & K(x_n,x_n) \end{pmatrix}$$

Un processus ponctuel X est dit déterminantal (ou DPP) sur \mathbb{R}^d de noyau K s'il existe une fonction $K:(\mathbb{R}^d)^2\to\mathbb{R}$ telle que pour tout $n\in\mathbb{N}$:

$$\rho^{(n)}(x_1,\dots,x_n) = \det \begin{pmatrix} K(x_1,x_1) & \cdots & K(x_1,x_n) \\ \vdots & \ddots & \vdots \\ K(x_n,x_1) & \cdots & K(x_n,x_n) \end{pmatrix}$$

En particulier:

•
$$\rho^{(1)}(x) = K(x,x)$$

Un processus ponctuel X est dit déterminantal (ou DPP) sur \mathbb{R}^d de noyau K s'il existe une fonction $K: (\mathbb{R}^d)^2 \to \mathbb{R}$ telle que pour tout $n \in \mathbb{N}$:

$$\rho^{(n)}(x_1,\dots,x_n) = \det \begin{pmatrix} K(x_1,x_1) & \cdots & K(x_1,x_n) \\ \vdots & \ddots & \vdots \\ K(x_n,x_1) & \cdots & K(x_n,x_n) \end{pmatrix}$$

En particulier:

- $\rho^{(1)}(x) = K(x,x)$
- Si K(x, y) = K(y, x) alors

$$\rho^{(2)}(x,y)-\rho^{(1)}(x)\rho^{(1)}(y)=\det\begin{pmatrix}K(x,x)&K(x,y)\\K(y,x)&K(y,y)\end{pmatrix}-K(x,x)K(y,y)$$

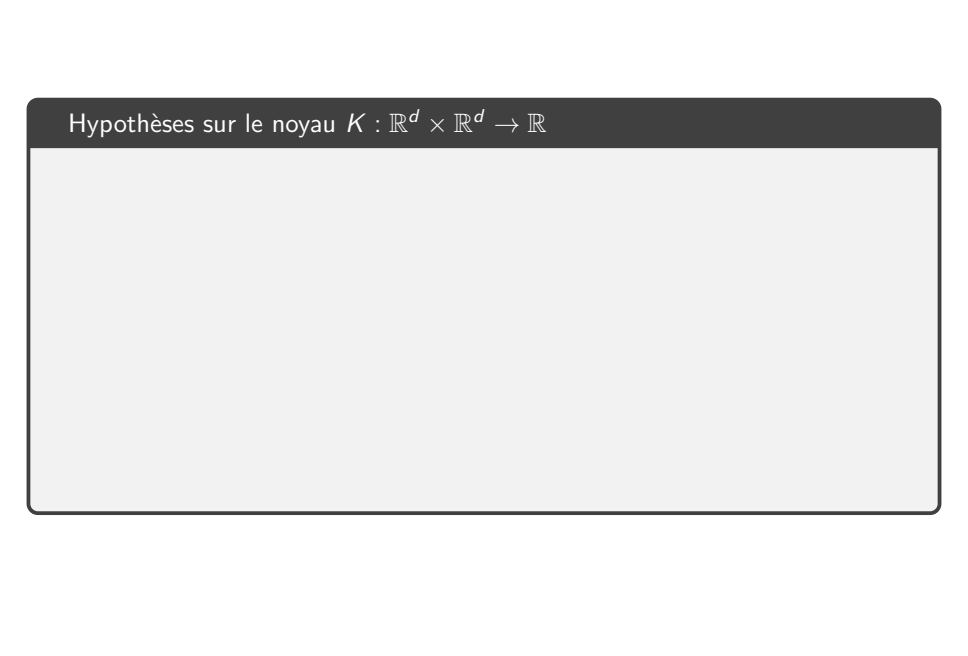
Un processus ponctuel X est dit déterminantal (ou DPP) sur \mathbb{R}^d de noyau K s'il existe une fonction $K: (\mathbb{R}^d)^2 \to \mathbb{R}$ telle que pour tout $n \in \mathbb{N}$:

$$\rho^{(n)}(x_1,\dots,x_n) = \det \begin{pmatrix} K(x_1,x_1) & \cdots & K(x_1,x_n) \\ \vdots & \ddots & \vdots \\ K(x_n,x_1) & \cdots & K(x_n,x_n) \end{pmatrix}$$

En particulier:

- $\rho^{(1)}(x) = K(x,x)$
- Si K(x, y) = K(y, x) alors

$$\rho^{(2)}(x,y) - \rho^{(1)}(x)\rho^{(1)}(y) = -K(x,y)^2 \le 0$$



Hypothèses sur le noyau $K: \mathbb{R}^d imes \mathbb{R}^d o \mathbb{R}$

- K est symétrique: $\forall x, y \in \mathbb{R}^d$, K(x, y) = K(y, x).
- K est continu et localement intégrable.

Hypothèses sur le noyau $K: \mathbb{R}^d \times \mathbb{R}^d \to \mathbb{R}$

- K est symétrique: $\forall x, y \in \mathbb{R}^d$, K(x, y) = K(y, x).
- K est continu et localement intégrable.

Pour tout compact $W \subset \mathbb{R}^d$ on défini l'opérateur intégral

$$\mathcal{K}|_{W}: f \mapsto \int_{W} \mathcal{K}(.,y)f(y)\mathrm{d}y$$

- $\mathcal{K}|_W$ est à valeurs propres dans [0,1]
- $\operatorname{Tr}(\mathcal{K}|_W) < \infty$.

11/32

Théorème (Lavancier, Møller, Rubak, 2015)

Soit $K_0 : \mathbb{R}^d \to \mathbb{R}$ une fonction de covariance continue de transformée de Fourier $0 \leqslant \hat{K}_0 \leqslant 1$, alors $K(x,y) := K_0(y-x)$ est le noyau d'un DPP stationnaire.

Théorème (Lavancier, Møller, Rubak, 2015)

Soit $K_0 : \mathbb{R}^d \to \mathbb{R}$ une fonction de covariance continue de transformée de Fourier $0 \leqslant \hat{K}_0 \leqslant 1$, alors $K(x,y) := K_0(y-x)$ est le noyau d'un DPP stationnaire.

Noyau Gaussien:
$$K^{\rho,\alpha}(x,y):=
ho\exp\left(-\left\|\frac{y-x}{\alpha}\right\|^2\right)$$
 où $0<
ho\leqslant(\sqrt{\pi}\alpha)^{-d}$

Théorème (Lavancier, Møller, Rubak, 2015)

Soit $K_0 : \mathbb{R}^d \to \mathbb{R}$ une fonction de covariance continue de transformée de Fourier $0 \leqslant \hat{K}_0 \leqslant 1$, alors $K(x,y) := K_0(y-x)$ est le noyau d'un DPP stationnaire.

Noyau Gaussien:
$$K^{\rho,\alpha}(x,y) := \rho \exp\left(-\left\|\frac{y-x}{\alpha}\right\|^2\right)$$
 où $0 < \rho \leqslant (\sqrt{\pi}\alpha)^{-d}$

Noyau de Cauchy:
$$K^{\rho,\alpha,\nu}(x,y) := \frac{\rho}{\left(1+\left\|\frac{y-x}{\alpha}\right\|^2\right)^{\nu+d/2}}$$
 où $0<\rho\leqslant \frac{\Gamma(\nu+d/2)}{\Gamma(\nu)(\sqrt{\pi}\alpha)^d}$

12/32

Théorème (Lavancier, Møller, Rubak, 2015)

Soit $K_0 : \mathbb{R}^d \to \mathbb{R}$ une fonction de covariance continue de transformée de Fourier $0 \leqslant \hat{K}_0 \leqslant 1$, alors $K(x,y) := K_0(y-x)$ est le noyau d'un DPP stationnaire.

Noyau Gaussien:
$$K^{\rho,\alpha}(x,y) := \rho \exp\left(-\left\|\frac{y-x}{\alpha}\right\|^2\right)$$
 où $0 < \rho \leqslant (\sqrt{\pi}\alpha)^{-d}$

Noyau de Cauchy:
$$K^{\rho,\alpha,\nu}(x,y) := \frac{\rho}{\left(1+\left\|\frac{\gamma-x}{\alpha}\right\|^2\right)^{\nu+d/2}}$$
 où $0 < \rho \leqslant \frac{\Gamma(\nu+d/2)}{\Gamma(\nu)(\sqrt{\pi}\alpha)^d}$

Noyau de Bessel:
$$K^{\rho,\alpha,\sigma}(x,y) := \rho 2^{(\sigma+d)/2} \Gamma(\frac{\sigma+d+2}{2}) \frac{J_{(\sigma+d)/2}(\sqrt{2(\sigma+d)}\|\frac{y-x}{\alpha}\|)}{(\sqrt{2(\sigma+d)}\|\frac{y-x}{\alpha}\|)^{(\sigma+d)/2}}$$
 où $0 < \rho \leqslant \frac{(\sigma+d)^{d/2} \Gamma((\sigma+2)/2)}{\Gamma((\sigma+d+2)/2)(\sqrt{2\pi}\alpha)^d}$

12/32

Théorème (Lavancier, Møller, Rubak, 2015)

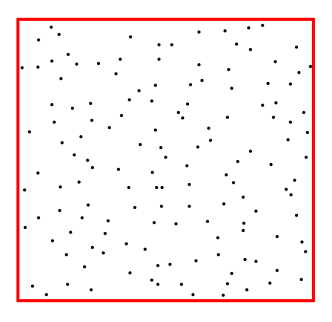
Soit $K_0 : \mathbb{R}^d \to \mathbb{R}$ une fonction de covariance continue de transformée de Fourier $0 \leqslant \hat{K}_0 \leqslant 1$, alors $K(x,y) := K_0(y-x)$ est le noyau d'un DPP stationnaire.

Noyau Gaussien:
$$\hat{K}_{0}^{\rho,\alpha}(x) = \rho(\sqrt{\pi}\alpha)^{d} \exp\left(-\left\|\pi\alpha x\right\|^{2}\right)$$

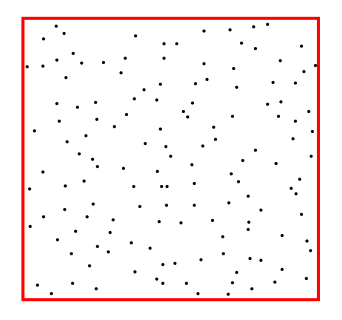
Noyau de Cauchy:
$$\hat{K}_0^{\rho,\alpha,\nu}(x) = \frac{\rho(\sqrt{\pi}\alpha)^d 2^{1-\nu}}{\Gamma(\nu+d/2)} \|2\pi\alpha x\|^{\nu} K_{\nu}(\|2\pi\alpha x\|)$$

Noyau de Bessel:
$$\hat{K}_0^{\rho,\alpha,\sigma}(x) = \rho \frac{(2\pi)^{d/2} \alpha^d \Gamma((\sigma+d+2)/2)}{(\sigma+d)^{d/2} \Gamma((\sigma+2)/2)} \left(1 - \frac{2\pi^2 \alpha^2 ||x||^2}{\sigma+d}\right)_+^{\sigma/2}$$

<u>Problème:</u> On considère l'observation d'une unique réalisation d'un DPP de noyau K^{θ^*} provenant d'une famille paramétrique $\{K^{\theta}, \theta \in \Theta\}, \Theta \subset \mathbb{R}^p$, observée sur une fenêtre W et on cherche à estimer θ^* par **maximum de vraisemblance** des DPPs.



<u>Problème:</u> On considère l'observation d'une unique réalisation d'un DPP de noyau K^{θ^*} provenant d'une famille paramétrique $\{K^{\theta}, \theta \in \Theta\}, \Theta \subset \mathbb{R}^p$, observée sur une fenêtre W et on cherche à estimer θ^* par **maximum de vraisemblance** des DPPs.



lci, l'asymptote se fait sur la **taille de la fenêtre** et donc indirectement sur le **nombre de points observés**.

Outline

- Processus ponctuels determinantaux
 - Jeux de données ponctuelles répulsives
 - Définition des DPPs
 - Construction de la log-vraisemblance
- Approximation asymptotique de la vraisemblance des DPPs
 - Méthode d'approximation
 - Résultats numériques
 - Estimation de la variance

Conclusion et questions ouvertes

Théorème (O. Macchi, '75)

Soit X un DPP de noyau K à valeurs propres dans [0,1[et W un compact de \mathbb{R}^d , alors $X\cap W$ est absolument continu par rapport au processus de Poisson d'intensité 1, de densité

$$\forall x \in \bigcup_n W^n$$
, $f(x) = \exp(|W|) \det(Id - \mathcal{K}|_W) \det((L_W(x_i, x_j))_{i,j})$

où L_W est solution de l'équation de Fredholm du 2nd type:

$$\forall x, y \in W, \ L_W(x, y) = K(x, y) + \int_W L_W(x, z)K(z, y)dz.$$

Théorème (O. Macchi, '75)

Soit X un DPP de noyau K à valeurs propres dans [0,1[et W un compact de \mathbb{R}^d , alors $X\cap W$ est absolument continu par rapport au processus de Poisson d'intensité 1, de densité

$$\forall x \in \bigcup_n W^n$$
, $f(x) = \exp(|W|) \det(Id - \mathcal{K}|_W) \det((L_W(x_i, x_j))_{i,j})$

où L_W est solution de l'équation de Fredholm du 2nd type:

$$\forall x, y \in W, \ L_W(x, y) = K(x, y) + \int_W L_W(x, z)K(z, y)dz.$$

Alors, la log-vraisemblance (normalisée) de $X \cap W$ s'écrit:

$$I(\theta|X) = 1 + \frac{1}{|W|} \mathsf{logdet}(Id - \mathcal{K}^{\theta}|_{W}) + \frac{1}{|W|} \mathsf{logdet}((L_{W}^{\theta}(x, y))_{x, y \in X \cap W})$$

Théorème (O. Macchi, '75)

Soit X un DPP de noyau K à valeurs propres dans [0,1[et W un compact de \mathbb{R}^d , alors $X\cap W$ est absolument continu par rapport au processus de Poisson d'intensité 1, de densité

$$\forall x \in \bigcup_n W^n$$
, $f(x) = \exp(|W|) \det(Id - \mathcal{K}|_W) \det((L_W(x_i, x_j))_{i,j})$

où L_W est solution de l'équation de Fredholm du 2nd type:

$$\forall x, y \in W, \ L_W(x, y) = K(x, y) + \int_W L_W(x, z)K(z, y)dz.$$

Alors, la log-vraisemblance (normalisée) de $X \cap W$ s'écrit:

$$\mathit{I}(\theta|X) = 1 + \frac{1}{|\mathcal{W}|} \mathsf{logdet}(\mathit{Id} - \mathcal{K}^{\theta}|_{\mathcal{W}}) + \frac{1}{|\mathcal{W}|} \mathsf{logdet}\big(\big(\mathit{L}^{\theta}_{\mathcal{W}}(x,y)\big)_{x,y \in X \cap \mathcal{W}}\big)$$

Outline

- Processus ponctuels determinantaux
 - Jeux de données ponctuelles répulsives
 - Définition des DPPs
 - Construction de la log-vraisemblance
- Approximation asymptotique de la vraisemblance des DPPs
 - Méthode d'approximation
 - Résultats numériques
 - Estimation de la variance

Conclusion et questions ouvertes

Idée de la méthode

Regarder le comportement de L_W et logdet $(Id-\mathcal{K}|_W)$ lorsque $Wpprox \mathbb{R}^d$

Hypothèses supplémentaires

On considère des DPPs stationnaires. Leurs noyaux s'écrit sous la forme $K(x,y)=K_0(y-x)$.

$$\mathsf{logdet}(\mathit{Id} - \mathcal{K}|_{\mathit{W}}) = -\sum_{k=1}^{\infty} \frac{1}{k} \mathsf{Tr}((\mathcal{K}|_{\mathit{W}})^k)$$

$$\begin{aligned} \log \det(Id - \mathcal{K}|_{W}) &= -\sum_{k=1}^{\infty} \frac{1}{k} \operatorname{Tr}((\mathcal{K}|_{W})^{k}) \\ &= -\sum_{k=1}^{\infty} \frac{1}{k} \int_{W^{k}} \mathcal{K}_{0}(x_{2} - x_{1}) \cdots \mathcal{K}_{0}(x_{k} - x_{k-1}) \mathcal{K}_{0}(x_{1} - x_{k}) d^{k}x \end{aligned}$$

$$\begin{split} \log \det(Id - \mathcal{K}|_W) &= -\sum_{k=1}^{\infty} \frac{1}{k} \operatorname{Tr}((\mathcal{K}|_W)^k) \\ &= -\sum_{k=1}^{\infty} \frac{1}{k} \int_{W^k} \mathcal{K}_0(x_2 - x_1) \cdots \mathcal{K}_0(x_k - x_{k-1}) \mathcal{K}_0(x_1 - x_k) \mathrm{d}^k x \\ &\approx -\sum_{k=1}^{\infty} \frac{1}{k} \int_{W \times (\mathbb{R}^d)^{k-1}} \mathcal{K}_0(x_2 - x_1) \cdots \mathcal{K}_0(x_k - x_{k-1}) \mathcal{K}_0(x_1 - x_k) \mathrm{d}^k x \end{split}$$

$$\begin{aligned} \log \det(Id - \mathcal{K}|_{W}) &= -\sum_{k=1}^{\infty} \frac{1}{k} \operatorname{Tr}((\mathcal{K}|_{W})^{k}) \\ &= -\sum_{k=1}^{\infty} \frac{1}{k} \int_{W^{k}} K_{0}(x_{2} - x_{1}) \cdots K_{0}(x_{k} - x_{k-1}) K_{0}(x_{1} - x_{k}) d^{k}x \\ &\approx -\sum_{k=1}^{\infty} \frac{1}{k} \int_{W \times (\mathbb{R}^{d})^{k-1}} K_{0}(x_{2} - x_{1}) \cdots K_{0}(x_{k} - x_{k-1}) K_{0}(x_{1} - x_{k}) d^{k}x \\ &= -\sum_{k=1}^{\infty} \frac{1}{k} \int_{W} K_{0}^{*k}(x_{1} - x_{1}) dx_{1} \end{aligned}$$

$$\begin{aligned} \log \det(Id - \mathcal{K}|_{W}) &= -\sum_{k=1}^{\infty} \frac{1}{k} \mathsf{Tr}((\mathcal{K}|_{W})^{k}) \\ &= -\sum_{k=1}^{\infty} \frac{1}{k} \int_{W^{k}} \mathcal{K}_{0}(x_{2} - x_{1}) \cdots \mathcal{K}_{0}(x_{k} - x_{k-1}) \mathcal{K}_{0}(x_{1} - x_{k}) \mathrm{d}^{k} x \\ &\approx -\sum_{k=1}^{\infty} \frac{1}{k} \int_{W \times (\mathbb{R}^{d})^{k-1}} \mathcal{K}_{0}(x_{2} - x_{1}) \cdots \mathcal{K}_{0}(x_{k} - x_{k-1}) \mathcal{K}_{0}(x_{1} - x_{k}) \mathrm{d}^{k} x \\ &= -\sum_{k=1}^{\infty} \frac{1}{k} \int_{W} \mathcal{K}_{0}^{*k}(x_{1} - x_{1}) \mathrm{d} x_{1} \\ &= -\sum_{k=1}^{\infty} \frac{|W|}{k} \mathcal{K}_{0}^{*k}(0) \end{aligned}$$

$$\log \det(Id - \mathcal{K}|_{W}) = -\sum_{k=1}^{\infty} \frac{1}{k} \operatorname{Tr}((\mathcal{K}|_{W})^{k})$$

$$= -\sum_{k=1}^{\infty} \frac{1}{k} \int_{W^{k}} K_{0}(x_{2} - x_{1}) \cdots K_{0}(x_{k} - x_{k-1}) K_{0}(x_{1} - x_{k}) d^{k}x$$

$$\approx -\sum_{k=1}^{\infty} \frac{1}{k} \int_{W \times (\mathbb{R}^{d})^{k-1}} K_{0}(x_{2} - x_{1}) \cdots K_{0}(x_{k} - x_{k-1}) K_{0}(x_{1} - x_{k}) d^{k}x$$

$$= -\sum_{k=1}^{\infty} \frac{1}{k} \int_{W} K_{0}^{*k}(x_{1} - x_{1}) dx_{1}$$

$$= -\sum_{k=1}^{\infty} \frac{|W|}{k} K_{0}^{*k}(0) = -|W| \sum_{k=1}^{\infty} \frac{1}{k} \int_{\mathbb{R}^{d}} \hat{K}_{0}^{k}(x) dx$$

16 / 32

$$\begin{aligned} \log \det(Id - \mathcal{K}|_{W}) &= -\sum_{k=1}^{\infty} \frac{1}{k} \operatorname{Tr}((\mathcal{K}|_{W})^{k}) \\ &= -\sum_{k=1}^{\infty} \frac{1}{k} \int_{W^{k}} K_{0}(x_{2} - x_{1}) \cdots K_{0}(x_{k} - x_{k-1}) K_{0}(x_{1} - x_{k}) d^{k} x \\ &\approx -\sum_{k=1}^{\infty} \frac{1}{k} \int_{W \times (\mathbb{R}^{d})^{k-1}} K_{0}(x_{2} - x_{1}) \cdots K_{0}(x_{k} - x_{k-1}) K_{0}(x_{1} - x_{k}) d^{k} x \\ &= -\sum_{k=1}^{\infty} \frac{1}{k} \int_{W} K_{0}^{*k}(x_{1} - x_{1}) dx_{1} \\ &= -\sum_{k=1}^{\infty} \frac{|W|}{k} K_{0}^{*k}(0) = -|W| \sum_{k=1}^{\infty} \frac{1}{k} \int_{\mathbb{R}^{d}} \hat{K}_{0}^{k}(x) dx \end{aligned}$$

$$|\operatorname{logdet}(\mathit{Id}-\mathcal{K}|_{\mathit{W}})pprox |\mathit{W}|\int_{\mathbb{R}^d}\log(1-\hat{\mathcal{K}}_0(t))\mathrm{d}t$$

Approximation de L_W

$$L_W(x,y) = K_0(y-x) + \int_W L_W(x,z) K_0(y-z) dz$$

Approximation de L_W

$$\begin{split} L_W(x,y) &= K_0(y-x) + \int_W L_W(x,z) K_0(y-z) \mathrm{d}z \\ \Rightarrow L_W(x,y) &\approx K_0(y-x) + \int_{\mathbb{D}^d} L_W(x,z) K_0(y-z) \mathrm{d}z \end{split}$$

$$L_{W}(x,y) = K_{0}(y-x) + \int_{W} L_{W}(x,z)K_{0}(y-z)dz$$

$$\Rightarrow L_{W}(x,y) \approx K_{0}(y-x) + \int_{\mathbb{R}^{d}} L_{W}(x,z)K_{0}(y-z)dz$$

$$\Rightarrow L_{0}(y-x) \approx K_{0}(y-x) + \int_{\mathbb{R}^{d}} L_{0}(z-x)K_{0}(y-z)dz$$

$$L_W(x,y) = K_0(y-x) + \int_W L_W(x,z) K_0(y-z) dz$$

$$\Rightarrow L_W(x,y) \approx K_0(y-x) + \int_{\mathbb{R}^d} L_W(x,z) K_0(y-z) dz$$

$$\Rightarrow L_0(y-x) \approx K_0(y-x) + \int_{\mathbb{R}^d} L_0(z-x) K_0(y-z) dz$$

$$\Rightarrow L_0(x) = K_0(x) + K_0 * L_0(x)$$

$$L_{W}(x,y) = K_{0}(y-x) + \int_{W} L_{W}(x,z)K_{0}(y-z)dz$$

$$\Rightarrow L_{W}(x,y) \approx K_{0}(y-x) + \int_{\mathbb{R}^{d}} L_{W}(x,z)K_{0}(y-z)dz$$

$$\Rightarrow L_{0}(y-x) \approx K_{0}(y-x) + \int_{\mathbb{R}^{d}} L_{0}(z-x)K_{0}(y-z)dz$$

$$\Rightarrow L_{0}(x) = K_{0}(x) + K_{0} * L_{0}(x)$$

$$\Rightarrow \hat{L}_{0}(x) = \hat{K}_{0}(x) + \hat{K}_{0}(x)\hat{L}_{0}(x)$$

$$L_{W}(x,y) = K_{0}(y-x) + \int_{W} L_{W}(x,z)K_{0}(y-z)dz$$

$$\Rightarrow L_{W}(x,y) \approx K_{0}(y-x) + \int_{\mathbb{R}^{d}} L_{W}(x,z)K_{0}(y-z)dz$$

$$\Rightarrow L_{0}(y-x) \approx K_{0}(y-x) + \int_{\mathbb{R}^{d}} L_{0}(z-x)K_{0}(y-z)dz$$

$$\Rightarrow L_{0}(x) = K_{0}(x) + K_{0} * L_{0}(x)$$

$$\Rightarrow \hat{L}_{0}(x) = \hat{K}_{0}(x) + \hat{K}_{0}(x)\hat{L}_{0}(x)$$

$$\Rightarrow \hat{L}_{0}(x) = \frac{\hat{K}_{0}(x)}{1 - \hat{K}_{0}(x)}$$

$$L_{W}(x,y) = K_{0}(y-x) + \int_{W} L_{W}(x,z)K_{0}(y-z)dz$$

$$\Rightarrow L_{W}(x,y) \approx K_{0}(y-x) + \int_{\mathbb{R}^{d}} L_{W}(x,z)K_{0}(y-z)dz$$

$$\Rightarrow L_{0}(y-x) \approx K_{0}(y-x) + \int_{\mathbb{R}^{d}} L_{0}(z-x)K_{0}(y-z)dz$$

$$\Rightarrow L_{0}(x) = K_{0}(x) + K_{0} * L_{0}(x)$$

$$\Rightarrow \hat{L}_{0}(x) = \hat{K}_{0}(x) + \hat{K}_{0}(x)\hat{L}_{0}(x)$$

$$\Rightarrow \hat{L}_{0}(x) = \frac{\hat{K}_{0}(x)}{1 - \hat{K}_{0}(x)}$$

$$\Rightarrow \boxed{L_W(x,y) \approx L_0(y-x) = \int_{\mathbb{R}^d} \frac{\hat{K}_0(t)}{1 - \hat{K}_0(t)} \exp(2\pi i \langle t, y - x \rangle) dt}$$

Au final, on obtient l'approximation suivante de la vraisemblance:

$$\widetilde{I}(\theta|X) := 1 + \int_{\mathbb{R}^d} \log(1 - \hat{K}_0^{\theta}(x)) dx + \frac{1}{|W|} \log \det((L_0^{\theta}(y - x))_{x,y \in X \cap W})$$

οù

$$L_0^{\theta}(x) = \int_{\mathbb{R}^d} \frac{\hat{\mathcal{K}}_0^{\theta}(t)}{1 - \hat{\mathcal{K}}_0^{\theta}(t)} \exp(2\pi i \langle t, x \rangle) \mathrm{d}t$$

• Lorsque K_0 est une fonction radiale alors L_0 peut s'exprimer comme une intégrale 1-dimensionnelle.

- Lorsque K_0 est une fonction radiale alors L_0 peut s'exprimer comme une intégrale 1-dimensionnelle.
- Les noyaux Gaussien

$$K_0^{\rho,\alpha}(x) = \rho \exp\left(-\frac{\|x\|^2}{\alpha^2}\right)$$

vérifient

$$L_0^{\rho,\alpha}(x) = \sum_{n \ge 1} \rho^n \frac{(\sqrt{\pi}\alpha)^{d(n-1)}}{n^{d/2}} \exp\left(-\frac{\|x\|^2}{n\alpha^2}\right).$$

- Lorsque K_0 est une fonction radiale alors L_0 peut s'exprimer comme une intégrale 1-dimensionnelle.
- Les noyaux Gaussien

$$K_0^{\rho,\alpha}(x) = \rho \exp\left(-\frac{\|x\|^2}{\alpha^2}\right)$$

vérifient

$$L_0^{\rho,\alpha}(x) = \sum_{n\geqslant 1} \rho^n \frac{(\sqrt{\pi}\alpha)^{d(n-1)}}{n^{d/2}} \exp\left(-\frac{\|x\|^2}{n\alpha^2}\right).$$

• Les noyaux de Bessel ($\sigma=0$) de la forme

$$K_0^{\rho,\alpha}(x) = \rho 2^{d/2} \Gamma(d/2 + 1) \frac{J_{d/2}(\sqrt{2d}||x||/\alpha)}{(\sqrt{2d}||x||/\alpha)^{d/2}}$$

vérifient

$$L_0^{\rho,\alpha}(x) = \frac{\rho 2^{d/2} \Gamma(d/2+1)}{1 - \rho \frac{(2\pi)^{d/2} \alpha^d \Gamma(d/2+1)}{\sigma^{d/2}}} \frac{J_{d/2}(\sqrt{2d} \|x\|/\alpha)}{(\sqrt{2d} \|x\|/\alpha)^{d/2}}.$$

ullet Les noyaux de Cauchy (
u=1/2) de la forme

$$K_0^{\rho,\alpha}(x) = \frac{
ho}{\left(1 + \left\|\frac{x}{lpha}\right\|\right)^{\frac{d+1}{2}}},$$

vérifient

$$L_0^{\rho,\alpha}(x) = \sum_{n\geqslant 1} \frac{\rho^n}{n^d} \left(\frac{\pi^{(d+1)/2} \alpha^d}{\Gamma((d+1)/2)} \right)^{n-1} \frac{1}{\left(1 + \left\| \frac{x}{n\alpha} \right\|^2 \right)^{(d+1)/2}}.$$

Les noyaux de Whittle-Matérn de la forme

$$K_0^{\rho,\alpha,\nu}(x) = \rho \frac{2^{1-\nu}}{\Gamma(\nu)} \left\| \frac{x}{\alpha} \right\|^{\nu} K_{\nu} \left(\left\| \frac{x}{\alpha} \right\| \right),$$

vérifient

$$L_0^{\rho,\alpha,\nu}(x) = \sum_{n \geq 0} \frac{\rho^n(\sqrt{\pi}\alpha)^{d(n-1)}\Gamma(\nu + d/2)^n}{2^{n\nu - 1 - (n-1)d/2}\Gamma(\nu)^n\Gamma(n\nu + nd/2)} \left\| \frac{x}{\alpha} \right\|_{K_{n\nu + (n-1)d/2}}^{n\nu + (n-1)d/2} \left(\left\| \frac{x}{\alpha} \right\| \right)$$

20/32

Outline

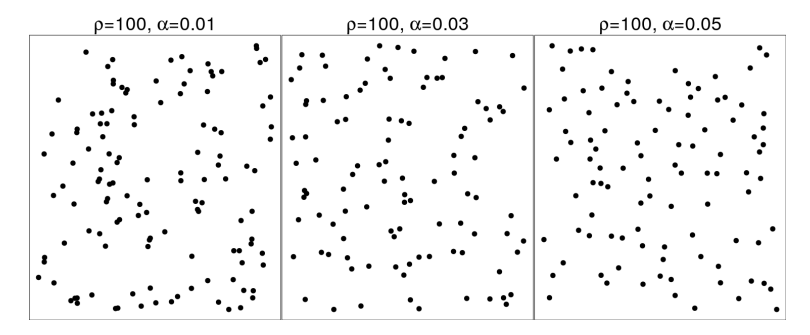
- Processus ponctuels determinantaux
 - Jeux de données ponctuelles répulsives
 - Définition des DPPs
 - Construction de la log-vraisemblance
- Approximation asymptotique de la vraisemblance des DPPs
 - Méthode d'approximation
 - Résultats numériques
 - Estimation de la variance

Conclusion et questions ouvertes

On considère le problème de l'estimation de α pour des DPPs avec noyaux de type Gaussien sur une fenêtre W de \mathbb{R}^2 :

$$K^{\rho,\alpha}(x,y) = \rho \exp\left(-\frac{\|y-x\|^2}{\alpha^2}\right).$$

On considère les cas où $W \in \{[0,1]^2, [0,2]^2, [0,3]^2\}$ de vrais paramètres $\rho^* = 100$ et $\alpha^* \in \{0.01, 0.03, 0.05\}$.



On compare alors l'estimation de α par notre approximation du MLE avec les méthodes de minimum de contraste basées sur la fonction de corrélation par paire (pcf) où la fonction K de Ripley.

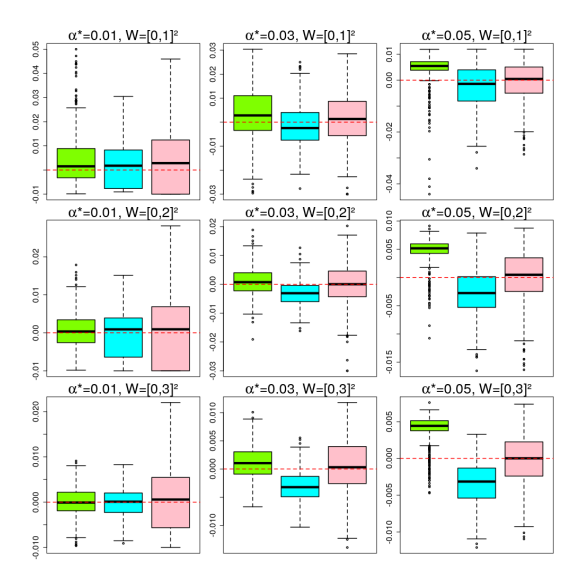


Figure: Boxplots de $\hat{\alpha} - \alpha^*$ pour 500 simulations de DPPs de type **Gaussien**. De gauche à droite: Approximation du MLE, MCE avec la pcf et MCE avec K.

Si on compare l'approximation de la vraisemblance avec sa vrai valeur, on se rend compte que cette approximation ne fonctionne pas bien pour les valeurs de α les plus élevées. Le problème est certainement dû à des effets de bord.

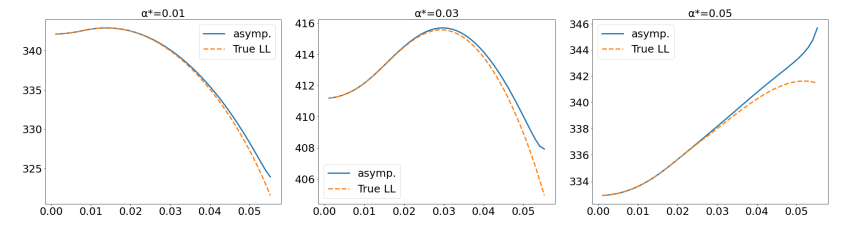


Figure: Graphe de la log-vraisemblance approchée comparée à la vraie vraisemblance pour trois simulations sur $[0,1]^2$ d'un DPP de paramètre $\rho^* = 100$ et $\alpha \in \{0.01,0.03,0.05\}$.

L'utilisation d'une **correction périodique** des effets de bords permet d'avoir une approximation de la log-vraisemblance avec un comportement qui se rapproche beaucoup plus de la vraie vraisemblance.

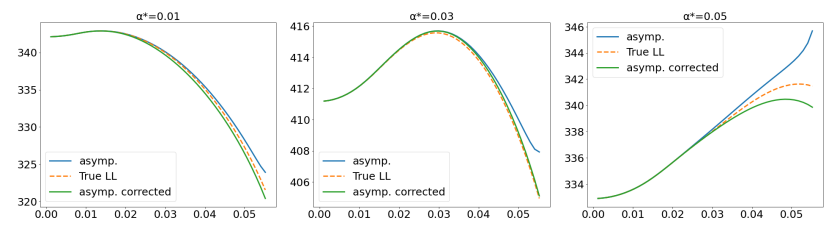


Figure: Graphe de la log-vraisemblance approchée, avec et sans la correction d'effets de bords, comparée à la vraie vraisemblance pour trois simulations sur $[0,1]^2$ d'un DPP de paramètre $\rho^*=100$ et $\alpha\in\{0.01,0.03,0.05\}$.

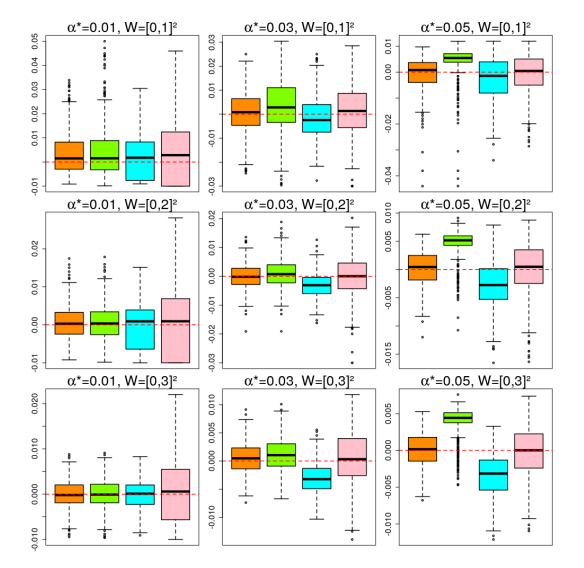
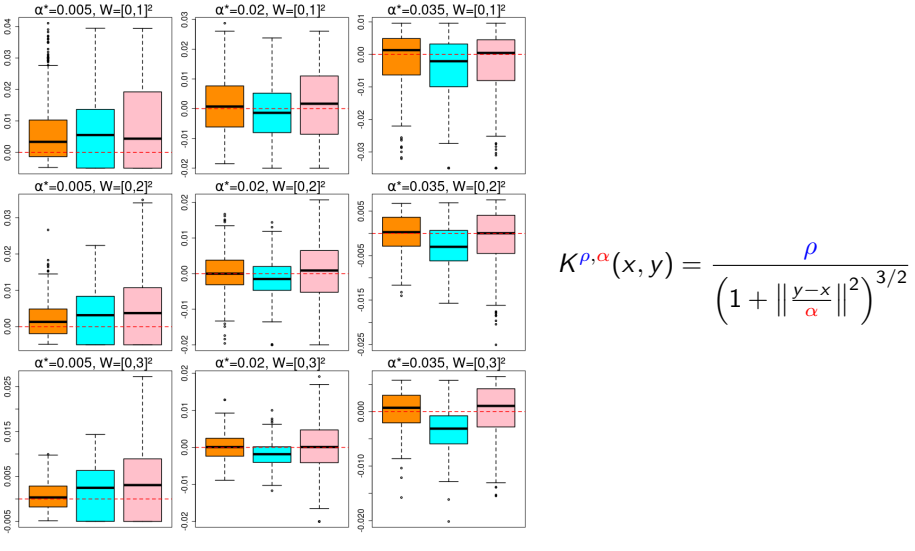
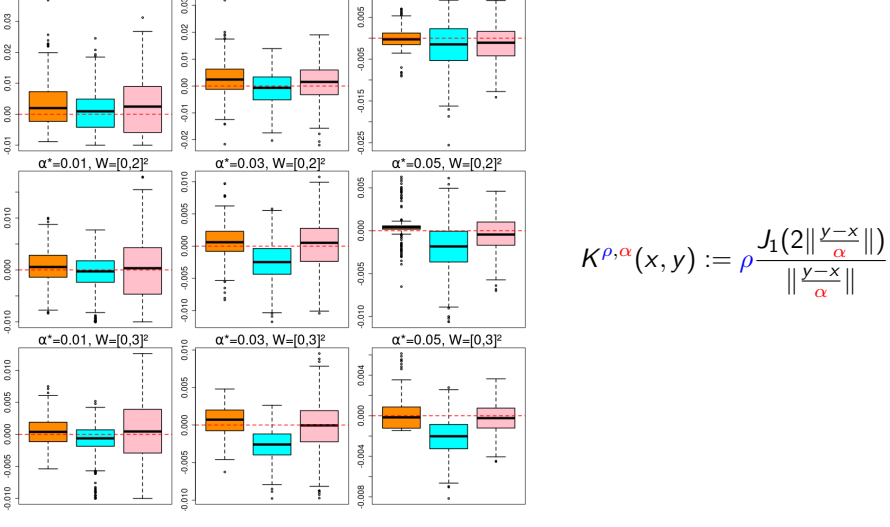


Figure: Boxplots de $\hat{\alpha}-\alpha^*$ pour 500 simulations de DPPs de type **Gaussien**. De gauche à droite: Approximation du MLE avec correction d'effets de bord, Approximation du MLE sans correction d'effets de bord, MCE avec la pcf et MCE avec K.



α*=0.005, W=[0.1]2

Figure: Boxplots de $\hat{\alpha} - \alpha^*$ pour 500 simulations de DPPs de type **Cauchy**. De gauche à droite: Approximation du MLE avec correction d'effets de bord, MCE avec la pcf et



 $\alpha^*=0.05, W=[0,1]^2$

 $\alpha^*=0.01$. W=[0.1]²

 $\alpha^*=0.03, W=[0,1]^2$

Figure: Boxplots de $\hat{\alpha}-\alpha^*$ pour 500 simulations de DPPs de type **Bessel**. De gauche à droite: Approximation du MLE avec correction d'effets de bord, MCE avec la pcf et MCE avec K.

Outline

- Processus ponctuels determinantaux
 - Jeux de données ponctuelles répulsives
 - Définition des DPPs
 - Construction de la log-vraisemblance
- Approximation asymptotique de la vraisemblance des DPPs
 - Méthode d'approximation
 - Résultats numériques
 - Estimation de la variance

3 Conclusion et questions ouvertes

Rappel

$$\widetilde{I}(\theta|X) := 1 + \int_{\mathbb{R}^d} \log(1 - \hat{K}_0^{\theta}(x)) dx + \frac{1}{|W|} \log \det((L_0^{\theta}(y - x))_{x,y \in X \cap W})$$

Rappel

$$\widetilde{I}(\theta|X) := 1 + \int_{\mathbb{R}^d} \log(1 - \hat{K}_0^{\theta}(x)) dx + \frac{1}{|W|} \log \det((L_0^{\theta}(y - x))_{x,y \in X \cap W})$$

Expression des dérivées secondes de $\widetilde{I}(\theta|X)$ pour $\theta = (\theta_1, \dots, \theta_p) \in \Theta \subset \mathbb{R}^p$:

$$\begin{split} \partial_{\theta_{i}}\partial_{\theta_{j}}\widetilde{I}(\theta|X) &= \int_{\mathbb{R}^{d}} \frac{-\partial_{\theta_{i}}\partial_{\theta_{j}}\hat{K}_{0}^{\theta}(x)(1-\hat{K}_{0}^{\theta}(x))-\partial_{\theta_{i}}\hat{K}_{0}^{\theta}(x)\partial_{\theta_{j}}\hat{K}_{0}^{\theta}(x)}{(1-\hat{K}_{0}^{\theta}(x))^{2}}\mathrm{d}x \\ &+ \frac{1}{|W|}\mathrm{Tr}(\partial_{\theta_{i}}\partial_{\theta_{j}}L_{0}^{\theta}[X\cap W]L_{0}^{\theta}[X\cap W]^{-1}\partial_{\theta_{j}}L_{0}^{\theta}[X\cap W]L_{0}^{\theta}[X\cap W]^{-1}\partial_{\theta_{j}}L_{0}^{\theta}[X\cap W]L_{0}^{\theta}[X\cap W]^{-1}). \end{split}$$

Rappel

$$\widetilde{I}(\theta|X) := 1 + \int_{\mathbb{R}^d} \log(1 - \hat{K}_0^{\theta}(x)) dx + \frac{1}{|W|} \log \det \left((L_0^{\theta}(y - x))_{x,y \in X \cap W} \right)$$

Expression des dérivées secondes de $\widetilde{I}(\theta|X)$ pour $\theta = (\theta_1, \dots, \theta_p) \in \Theta \subset \mathbb{R}^p$:

$$\begin{split} \partial_{\theta_{i}}\partial_{\theta_{j}}\widetilde{I}(\theta|X) &= \int_{\mathbb{R}^{d}} \frac{-\partial_{\theta_{i}}\partial_{\theta_{j}}\hat{K}_{0}^{\theta}(x)(1-\hat{K}_{0}^{\theta}(x)) - \partial_{\theta_{i}}\hat{K}_{0}^{\theta}(x)\partial_{\theta_{j}}\hat{K}_{0}^{\theta}(x)}{(1-\hat{K}_{0}^{\theta}(x))^{2}} \mathrm{d}x \\ &+ \frac{1}{|W|} \mathrm{Tr}(\partial_{\theta_{i}}\partial_{\theta_{j}}L_{0}^{\theta}[X\cap W]L_{0}^{\theta}[X\cap W]^{-1}\partial_{\theta_{j}}L_{0}^{\theta}[X\cap W]L_{0}^{\theta}[X\cap W]^{-1}\partial_{\theta_{j}}L_{0}^{\theta}[X\cap W]L_{0}^{\theta}[X\cap W]^{-1}). \end{split}$$

Estimation de l'information de Fisher:

$$\hat{I}(\theta) = -|W| \left(\partial_{\theta_i} \partial_{\theta_j} \widetilde{I}(\theta|X) \right)_{1 \leqslant i,j \leqslant p}$$

Construction d'intervalle de confiance pour des DPPs de noyau de la forme $K^{\rho,\alpha}(x,y) = \rho K_0\left(\frac{\|y-x\|}{\alpha}\right)$

Construction d'intervalle de confiance pour des DPPs de noyau de la forme $K^{\rho,\alpha}(x,y) = \rho K_0\left(\frac{\|y-x\|}{\alpha}\right)$

 \to Paramètres estimés par $\hat{\rho} = \operatorname{card}(X \cap W)/|W|$ et $\hat{\alpha} \in \operatorname{arg\,max}_{\alpha} \widetilde{I}(\hat{\rho}, \alpha|X)$.

Construction d'intervalle de confiance pour des DPPs de noyau de la forme $K^{\rho,\alpha}(x,y) = \rho K_0\left(\frac{\|y-x\|}{\alpha}\right)$

- o Paramètres estimés par $\hat{\rho} = \operatorname{card}(X \cap W)/|W|$ et $\hat{\alpha} \in \operatorname{arg\,max}_{\alpha} \widetilde{I}(\hat{\rho}, \alpha|X)$.
- ightarrow IC pour lpha estimé par

$$IC_{95\%}(lpha) := \left[\hat{lpha} \pm rac{1.96}{\sqrt{|W|}} \left(\partial_{lpha}^2 \widetilde{I}(\hat{
ho}, \hat{lpha}|X) - rac{(\partial_{lpha}\partial_{
ho}\widetilde{I}(\hat{
ho}, \hat{lpha}|X))^2}{\partial_{
ho}^2 \widetilde{I}(\hat{
ho}, \hat{lpha}|X)}
ight)^{-1/2}
ight]$$

Construction d'intervalle de confiance pour des DPPs de noyau de la forme $K^{\rho,\alpha}(x,y) = \rho K_0\left(\frac{\|y-x\|}{\alpha}\right)$

- \to Paramètres estimés par $\hat{\rho} = \operatorname{card}(X \cap W)/|W|$ et $\hat{\alpha} \in \operatorname{arg\,max}_{\alpha} \widetilde{I}(\hat{\rho}, \alpha|X)$.
- \rightarrow IC pour α estimé par

$$IC_{95\%}(\alpha) := \left[\hat{\alpha} \pm \frac{1.96}{\sqrt{|W|}} \left(\partial_{\alpha}^{2} \widetilde{I}(\hat{\rho}, \hat{\alpha}|X) - \frac{(\partial_{\alpha} \partial_{\rho} \widetilde{I}(\hat{\rho}, \hat{\alpha}|X))^{2}}{\partial_{\rho}^{2} \widetilde{I}(\hat{\rho}, \hat{\alpha}|X)} \right)^{-1/2} \right]$$

 $LC_{95\%}(\alpha)$ n'est pas forcement bien défini!

Window	$[0,1]^2$			$[0,2]^2$			[0, 3] ²		
α^*	low	mild	high	low	mild	high	low	mild	high
Gauss	88.2	89.6	92	88.6	94.2	92.6	93.2	93.2	92.8
	(0)	(0)	(0)	(0)	(0)	(0)	(0)	(0)	(0)
Cauchy	89.8	88.4	72	92.4	92.2	83.6	91.4	95	87.2
	(2)	(3.6)	(25.4)	(0)	(0)	(0)	(0)	(0)	(0)
Bessel	66	76.6	56	77.2	78.8	82.2	81	74.4	12
	(0)	(0.2)	(16.2)	(0)	(0)	(7.6)	(0)	(0)	(2.2)

Table: Pourcentage de simulation (sur 500) pour lesquelles $IC_{95\%}$ est bien défini et contient α^* . Les valeurs en parenthèse indiquent le pourcentage de simulation pour lesquelles $IC_{95\%}$ n'est pas bien défini.

Outline

- Processus ponctuels determinantaux
 - Jeux de données ponctuelles répulsives
 - Définition des DPPs
 - Construction de la log-vraisemblance
- 2 Approximation asymptotique de la vraisemblance des DPPs
 - Méthode d'approximation
 - Résultats numériques
 - Estimation de la variance

3 Conclusion et questions ouvertes

Conclusion

- Les processus déterminant sont utiles pour modéliser des données ponctuelles spatiales possédant un caractère répulsif.
- Leur vraisemblance a une expression explicite mais incalculable numériquement.
- Dans le cas des DPPs stationnaires, on a obtenu une approximation asymptotique de la vraisemblance qui est calculable numériquement.
- Combinée à une correction périodique des effets de bords, cette méthode possède de meilleurs performance que les estimateurs classiques pour une fenêtre rectangulaire (sauf pour le cas Bessel).
- On peut aussi obtenir une estimation de la variance de l'EMV.

Code disponible à l'adresse https://github.com/APoinas/MLEDPP.

Questions ouvertes

- Preuve de la consistance de l'EMV.
- Preuve complète de la convergence de l'approximation de la vraisemblance vers la vraisemblance en elle-même.
- Performance d'une approximation de type Nyström de la vraisemblance.

Questions ouvertes

- Preuve de la consistance de l'EMV.
- Preuve complète de la convergence de l'approximation de la vraisemblance vers la vraisemblance en elle-même.
- Performance d'une approximation de type Nyström de la vraisemblance.

MERCI BEAUCOUP

Proposition

Soit $\{K_0^{\theta}: \mathbb{R}^d \to \mathbb{R}, \ \theta \in \Theta\}$ une famille de fonctions intégrables à transformée de Fourier \hat{K}_0^{θ} à valeur dans [0,M] pour M<1 et $(W_n)_{n\geqslant 0}$ une famille croissante "assez régulière" de sous-ensemble de \mathbb{R}^d telle que $\bigcup_{n\geqslant 0} W_n = \mathbb{R}^d$. On suppose:

- $\sup_{\theta\in\Theta}K^{\theta}(0)<\infty$.
- $x \mapsto \sup_{\theta \in \Theta} |K_0^{\theta}(x)| \in L^1(\mathbb{R}^d)$.

Alors,

$$\sup_{\theta\in\Theta}\left|\frac{1}{|W_n|}\mathsf{logdet}(\mathcal{I}_{W_n}-\mathcal{K}^{\theta}_{W_n})-\int_{\mathbb{D}^d}\mathsf{log}(1-\hat{\mathcal{K}}^{\theta}_0(x))\mathrm{d}x\right|\underset{n\to+\infty}{\longrightarrow}0.$$

Approximation de L_W

Proposition

Soit $\{K_0^{\theta}: \mathbb{Z}^d \to \mathbb{R}, \ \theta \in \Theta\}$ une famille de fonctions intégrables à transformée de Fourier \hat{K}_0^{θ} à valeur dans [0,M] pour M<1 et $(W_n)_{n\geqslant 0}$ une famille croissante "assez régulière" de sous-ensemble de \mathbb{Z}^d telle que $\bigcup_{n\geqslant 0} W_n = \mathbb{Z}^d$. On suppose:

- ullet Θ est un compact de \mathbb{R}^p pour un certain $p\geqslant 1$
 - $(\theta, x) \mapsto \hat{K}^{\theta}(x)$ est continu sur $\Theta \times \mathbb{T}^d$
 - $\exists A, \tau > 0, \ \forall x \in \mathbb{Z}^d, \ \sup_{\theta \in \Theta} |K_0^{\theta}(x)| \leqslant \frac{A}{1 + ||x||^{d+\tau}}$.
 - $\forall \theta \in \Theta, \ \forall x \in \mathbb{Z}^d, \ \hat{K}_0^{\theta}(x) > 0$

Soit X une réalisation d'un DPP sur \mathbb{Z}^d de noyau K^{θ^*} , $\theta^* \in \Theta$. Alors,

$$\sup_{\theta \in \Theta} \frac{1}{|W_n|} \left| \operatorname{logdet}(L_0^{\theta}[X \cap W_n]) - \operatorname{logdet}(L_{W_n}^{\theta}[X \cap W_n]) \right| \xrightarrow{a.s.} 0.$$